УЛК 546.48.72.76.22

# МАГНИТНЫЕ СВОЙСТВА ТВЕРДЫХ РАСТВОРОВ НА ОСНОВЕ FeCr<sub>2</sub>S<sub>4</sub> В СИСТЕМЕ FeCr<sub>2</sub>S<sub>4</sub>—CdCr<sub>2</sub>S<sub>4</sub>

© 2019 г. Т. Г. Аминов<sup>1, \*</sup>, Г. Г. Шабунина<sup>1</sup>, Н. Н. Ефимов<sup>1</sup>, Е. В. Бушева<sup>1</sup>, В. М. Новоторцев 1

<sup>1</sup>Институт общей и неорганической химии им. Н.С. Курнакова Российской академии наук, Россия, 119991 Москва, Ленинский пр., 31

> \*e-mail: aminov@igic.ras.ru Поступила в редакцию 16.05.2018 г. После доработки 13.09.2018 г. Принята к публикации 15.10.2018 г.

Изучены магнитные свойства твердых растворов  $Cd_{1-x}Fe_xCr_2S_4$  в системе  $FeCr_2S_4$ — $CdCr_2S_4$  в области  $0.6 \le x < 1$ . Измерения проводили в температурном интервале 5-300 К в постоянном (до 7960 А/м) и переменном (10, 100 и 1000  $\Gamma$ ц) магнитных полях амплитудой 79.60 А/м. Во всех образцах обнаружены низкотемпературные магнитные аномалии как результат влияния орбитального упорядочения (ОУ) в базовом компоненте  $FeCr_2S_4$  при  $T_{OV} = 10$  К.

Ключевые слова: магнитный полупроводник, халькогенидная шпинель

**DOI:** 10.1134/S0002337X19030035

## **ВВЕДЕНИЕ**

В [1] изучены магнитные свойства твердых растворов на основе ферромагнетика  $CdCr_2S_4$  в системе  $FeCr_2S_4$ — $CdCr_2S_4$ . Настоящая работа посвящена изучению твердых растворов на основе ферримагнетика  $FeCr_2S_4$ в той же системе. Многочисленными исследованиями установлено, что  $FeCr_2S_4$  обладает уникальными свойствами типа колоссального магнитосопротивления, гигантского вращения Керра, обнаруживает ряд аномалий или необычное магнитное поведение, которое может быть классифицировано как сложное орбитальное состояние [2—5].

Орбитальным степеням свободы в формировании физических свойств коррелированных электронных систем сейчас уделяется большое внимание. Сильная связь "орбиты" со спиновой, зарядовой и решеточной степенями свободы нередко приводит к новым интересным эффектам и явлениям. Шпинель  $\operatorname{FeCr}_2S_4$  — типичный пример такого соединения, которому свойственны вышеназванные взаимодействия [6—8].

С точки зрения целей настоящей работы наиболее актуальны сведения по низкотемпературным магнитным аномалиям в  $\mathrm{FeCr_2S_4}$ . Согласно [4, 9], в интервале температур от точки Кюри ( $T_C=170~\mathrm{K}$ ) до  $T=100~\mathrm{K}$  действительная и мнимая части динамической восприимчивости в  $\mathrm{FeCr_2S_4}$  слабо зависят от частоты, но ниже  $T=90~\mathrm{K}$  действительная часть динамической восприимчивости начинает резко уменьшаться и обнаруживает выраженную

частотную зависимость. Мнимая часть динамической восприимчивости проявляет такие же свойства в интервале температур от 90 до 20 К. Точка перегиба на этой зависимости с увеличением частоты измерения сдвигается в сторону более высоких температур подобно тому, как это наблюдается в случае кластерных спиновых стекол. В пользу спиновых стекол свидетельствуют: пик при  $T \approx 75$  К на температурной зависимости мнимой части динамической восприимчивости  $FeCr_2S_4$ , различный ход кривых статической магнитной восприимчивости  $\chi(T)_{ZFC}$  и  $\chi(T)_{FC}$ , явления магнитной необратимости [10-16].

В работах [6, 7, 15] с целью получения более полных сведений путем измерений структурных, магнитных и термодинамических свойств FeCr<sub>2</sub>S<sub>4</sub> изучены явление орбитального упорядочения (ОУ) при температурах, близких к 10 К, магнитный переход при  $T \approx 60 \text{ K}$  и некоторые другие. Низкотемпературный рентгеновский анализ с высоким разрешением показал для FeCr<sub>2</sub>S<sub>4</sub> факт уширения всех брэгговских рефлексов. Начало этого уширения совпало со спин-ориентационным переходом при  $T \approx 60 \text{ K}$ , а максимум уширения был близок к T = 10 K, отвечающей орбитальному переходу. Данная структурная аномалия при температуре ОУ говорит о сжатии кристаллической решетки FeCr<sub>2</sub>S<sub>4</sub> в соответствии с ЈТ-антиферродисторсионным расположением FeS<sub>4</sub>-тетраэдров в основном состоянии [17, 18].

О переходе  $\operatorname{FeCr}_2S_4$  в ОУ-состояние свидетельствует также  $\lambda$ -аномалия на температурной зависимости удельной теплоемкости вблизи  $T=10~\mathrm{K}$ . Важно, что при  $T\approx 60~\mathrm{K}$  подобная аномалия не обнаружена, т.е. при этой температуре не существует перехода типа порядок—беспорядок. Однако возможно, что вблизи  $T\approx 60~\mathrm{K}$  ОУ, начинающееся как ближний порядок, разрушает существующее при этой температуре спиновое упорядочение с дальним порядком, вызывая уменьшение намагниченности образца.

Внешнее поле напряженностью до  $3.98 \times 10^6$  А/м не оказывает заметного влияния на  $\lambda$ -аномалию в FeCr<sub>2</sub>S<sub>4</sub>, что говорит об инертности ОУ по отношению к магнитному полю [19]. С другой стороны, ОУ оказалось весьма чувствительным к изменению давления, что свидетельствует о его связи с кристаллической решеткой, ее сжатием. Результатом этого сжатия может быть изменение магнитокристаллической симметрии, ответственной в FeCr<sub>2</sub>S<sub>4</sub> за смещение доменных границ и ориентацию спинов.

Исследование  $FeCr_2S_4$  с помощью метода спиновой релаксации положительных мюонов ( $\mu$ SR) поставило вопрос о существовании соединения при  $T=50~\rm K$  в виде несоизмеримой модулированной неколлинеарной спиновой структуры, сходной с геликоидальной спиновой структурой. По [19], выше  $T=50~\rm K$  спектры  $\mu$ SR совместимы с коллинеарным ферримагнетизмом, в котором имеется существенный спиновый беспорядок на протяжении нескольких постоянных решетки. Размеры этих областей с искаженной спиновой решеткой особенно возрастают при  $T=150~\rm K$ , здесь магнитное состояние материала можно представить в виде быстро флуктуирующих ферронов — микрообластей ближнего порядка с упорядоченными спинами.

## ЭКСПЕРИМЕНТАЛЬНАЯ ЧАСТЬ

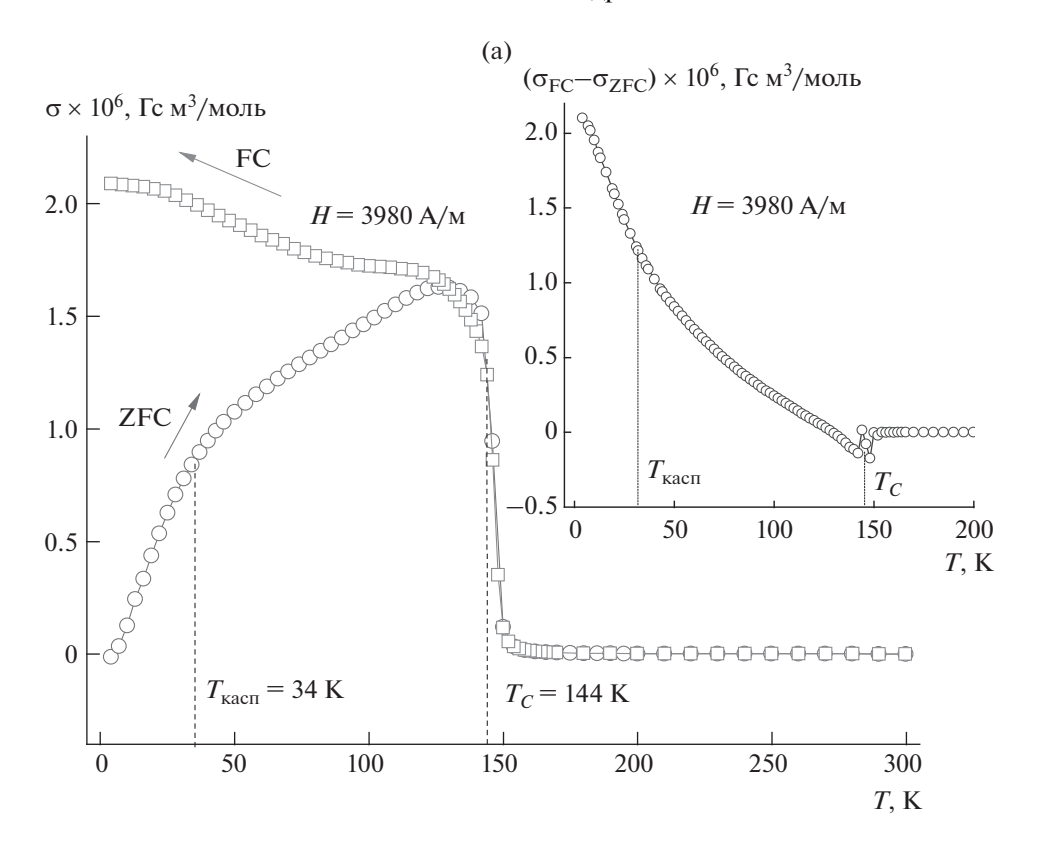
Для исследования были синтезированы твердые растворы  $Cd_{1-x}Fe_xCr_2S_4$  в области  $(0.6 \le x < 1)$ базового соединения – тиохромита железа FeCr<sub>2</sub>S<sub>4</sub>. Исходными веществами для получения твердых растворов  $Cd_{1-x}Fe_xCr_2S_4$  служили элементы: S (99.999%), Fe (99.9%), порошкообразный Cr (99.8%) производства Koch Light и CdS ("ос. ч."). Синтез проводили методом твердофазных реакций в кварцевых ампулах, откачанных до  $10^{-2}$  Па, при температуре  $900^{\circ}$ С в течение 7— 10 дней. Рентгенофазовый анализ показал, что все образцы однофазны. Зависимость параметра решетки от состава a(x) подчинялась закону Вегарда. В соответствии с соотношением радиусов  $r_{\rm Cd^{2+}} > r_{\rm Fe^{2+}}$  значение a закономерно уменьшалось при увеличении в твердом растворе концентрации железа.

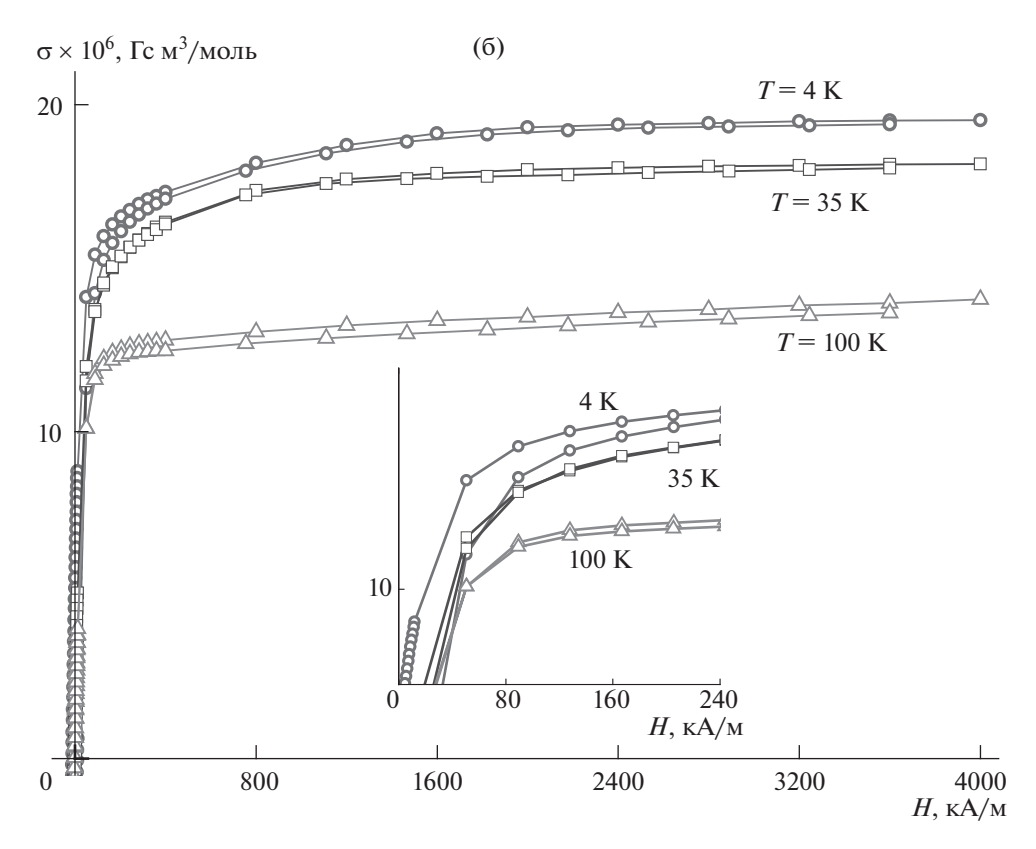
Магнитные измерения проводили на приборе Quantum Design PPMS-9 в температурном интервале 5-300 К в постоянном (3980 А/м) и/или переменном (10, 100, 1000 и 10000 Гц) магнитных полях амплитудой 79.6 А/м. В первом случае -ZFC – охлаждение проводили до температуры жидкого гелия в отсутствие магнитного поля, а затем включали небольшое измерительное поле напряженностью не выше 7960 А/м и медленно поднимали температуру, регистрируя значения намагниченности. Во втором случае – FC – после охлаждения до температуры жидкого гелия измеряли динамическую восприимчивость образцов при различных частотах переменного магнитного поля напряженностью 79.6 А/м. Изотермы намагниченности измеряли вплоть до значений напряженности магнитного поля  $H = 3.98 \times 10^6 \,\text{A/M}$ .

#### РЕЗУЛЬТАТЫ И ОБСУЖДЕНИЕ

На рис. 1а показаны температурные зависимости намагниченности  $\sigma(T)_{ZFC}$  и  $\sigma(T)_{FC}$  твердого раствора  $Cd_{0.4}Fe_{0.6}Cr_2S_4$  (x = 0.6) в интервале от комнатной до гелиевой температуры в слабом магнитном поле H = 3980 A/M, а на вставке к рис. 1а температурные зависимости разности намагниченностей  $\sigma(T)_{FC}$  и  $\sigma(T)_{ZFC}$ , пропорциональные, как предполагается, константе магнитокристаллической анизотропии образца. Согласно рис. 1а, твердый раствор  $Cd_{0.4}Fe_{0.6}Cr_2S_4$  характеризуется температурой перехода из парамагнитного в ферримагнитное состояние, равной  $T_C$  = 144 K, и температурой необратимости  $(T_{\rm H})$  кривых  $\sigma(T)_{\rm ZFC}$  и  $\sigma(T)_{\rm FC}$ , которая в данном случае практически совпадает с температурой Кюри образца. В отличие от  $T_C$  температура необратимости не является характеристическим параметром материала, и ее величина может зависеть от многих трудно прогнозируемых причин. Например, по [6], она зависит от степени стехиометричности материала, его дисперсности (моно- или поликристалл), наличия или отсутствия неконтролируемых примесей. Поскольку во всех образцах, исследованных в данной работе, значения  $T_C$  и  $T_H$  очень близки и практически совпадают друг с другом, можно предположить, что это явление имеет общие причины. Наиболее вероятными из них являются значение константы магнитокристаллической анизотропии  $K_1$  и пининг магнитных доменных стенок.

Первое предположение базируется на том, что для  $FeCr_2S_4$  величина  $K_1$  является одной из самых больших среди шпинелей. Согласно [16], она в магнитно упорядоченном соединении имеет положительный знак и при T=4.2 К составляет  $K_1==(3-6)\times 10^6$  эрг/см³ [20]. С этим фактом также связывают то, что кривые намагниченности  $FeCr_2S_4$  насыщаются лишь в больших полях ( $H\approx$ 





**Рис. 1.** Температурные зависимости намагниченности  $\sigma(T)_{ZFC}$  и  $\sigma(T)_{FC}$  твердого раствора  $\mathrm{Cd}_{0.4}\mathrm{Fe}_{0.6}\mathrm{Cr}_2\mathrm{S}_4$  (x=0.6) в интервале от комнатной до гелиевой температуры в слабом магнитном поле  $H=3980\,\mathrm{A/m}$ ; на вставке — температурные зависимости разности намагниченностей  $\sigma(T)_{FC}$  и  $\sigma(T)_{ZFC}$  (а) и полевые зависимости намагниченности этого же образца (б).

 $\approx 1.1 \times 10^7 \, \text{A/m}$ ) и при низких температурах ( $T = 4.2 \, \text{и} \ 20 \, \text{K}$ ) [9, 18]. Необходимость сильных полей для насыщения намагниченности объясняют быстрым возрастанием при низких температурах магнитокристаллической анизотропии соединения [5].

Подтверждением сказанного могут служить кривые намагничивания для x = 0.6 - 1.0, показанные на рис. 16, 26, 36 и 46. Здесь до резкого возрастания константы анизотропии со снижением температуры (при T < 60 K) полевые зависимости намагниченности, например при T = 100 K, идут почти параллельно оси абсцисс (т.е. близки к насыщению) по сравнению с аналогичными зависимостями при температуре жидкого гелия. При максимальных напряженностях магнитного поля  $H = 1.1 \times 10^7$  A/м все кривые  $\sigma(H)$  достигают технического насыщения.

На рис. 2а представлены температурные зависимости намагниченности  $\sigma(T)_{ZFC}$  и  $\sigma(T)_{FC}$ твердого раствора  $Cd_{0.3}Fe_{0.7}Cr_2S_4$  (x = 0.7) в интервале от комнатной до гелиевой температуры в слабом магнитном поле H = 3980 A/м, а на вставке к рис. 2а – температурные зависимости разности намагниченностей  $\sigma(T)_{FC}$  и  $\sigma(T)_{ZFC}$ . Как видно, рис. 1а и 2а внешне похожи друг на друга, хотя в последнем случае температура перехода образца из парамагнитного в ферримагнитное состояние увеличилась от  $T_C$  = 144 до  $T_C$  = 155 K, что говорит об укрупнении в образце ферромагнитных кластеров. Сходство кривых на рис. 1а и 2а проистекает в первую очередь из близкого хода кривых  $\sigma(T)$  в низкотемпературной области, где обычно по каспу на ZFC-зависимости считывается температура спин-стекольного перехода. Однако в данном случае этот подход нельзя считать правильным, так как гладкий ход кривых  $\sigma(T)$  со снижением температуры, скорее всего, обусловлен пинингом доменных стенок немагнитными ионами калмия.

Наряду с магнитной анизотропией коэрцитивная сила материала преимущественно определяется пинингом магнитных доменных стенок. Хотя в случае  $\operatorname{FeCr}_2S_4$  доминирует магнитокристаллическая анизотропия, введение в шпинель немагнитных ионов кадмия может создавать для доменных стенок новые пининговые центры, которые уширяют магнитный переход, вызванный низкотемпературным скачком константы  $K_1$ .

На рис. За приведены температурные зависимости намагниченности  $\sigma(T)_{ZFC}$  и  $\sigma(T)_{FC}$  твердого раствора  $\mathrm{Cd}_{0.2}\mathrm{Fe}_{0.8}\mathrm{Cr}_2\mathrm{S}_4$  (x=0.8) в интервале от комнатной до гелиевой температуры в слабом магнитном поле  $H=3980~\mathrm{A/m}$ , а на вставке — температурные зависимости разности намагниченностей  $\sigma(T)_{FC}$  и  $\sigma(T)_{ZFC}$ . Переход в этом образце из парамагнитного в ферримагнитное состояние

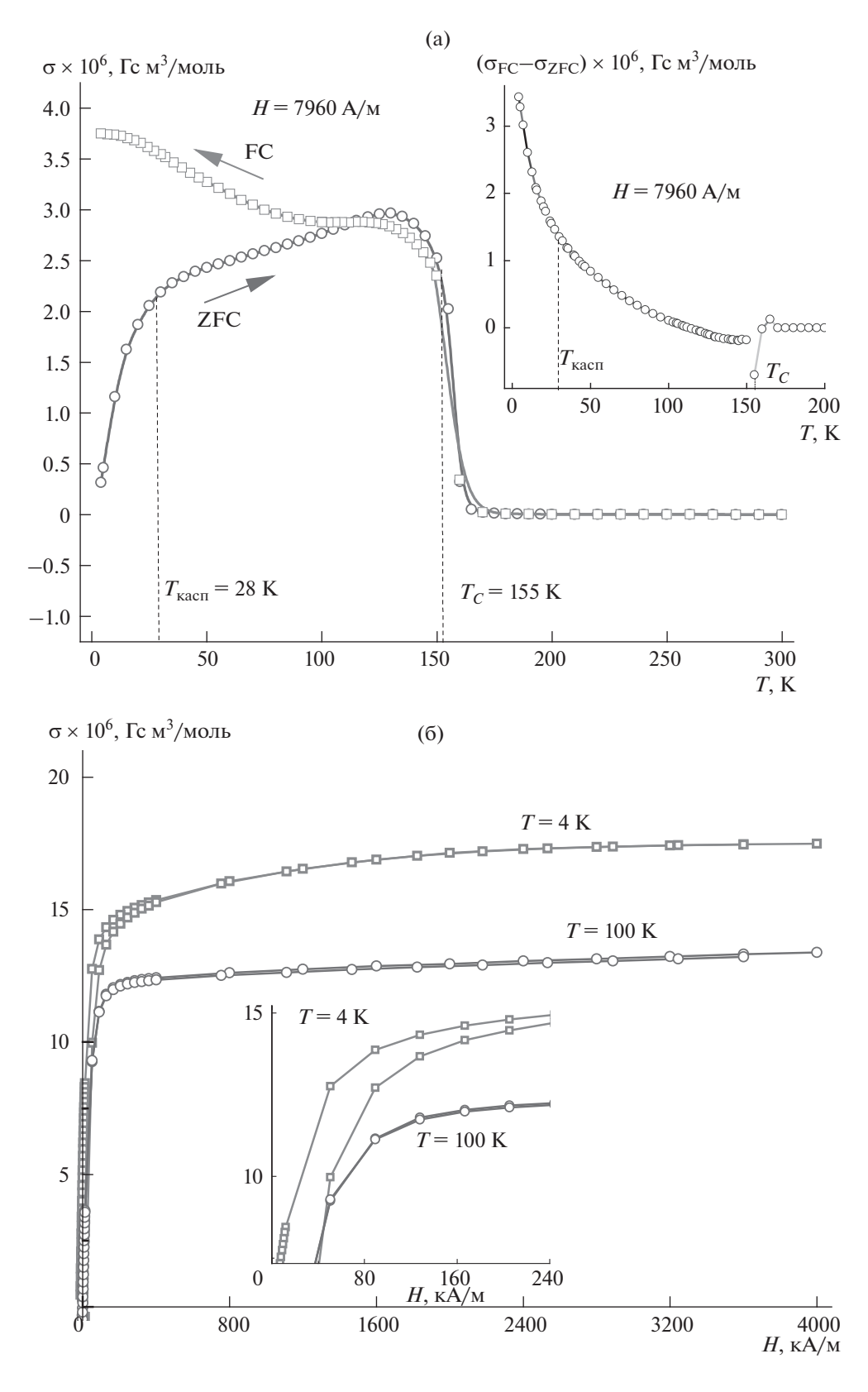
происходит при  $T_C=162$  К. Рис. За отличается от предыдущих тем, что в данном случае при T=32 К на кривой  $\sigma(T)_{\rm ZFC}$  наблюдается касп, возникновение которого, согласно вставке к рис. За, тесно корреллирует с резким ростом температурной зависимости разности намагниченностей  $\sigma(T)_{\rm FC}$  и  $\sigma(T)_{\rm ZFC}$ , пропорциональной, как предполагается, константе магнитокристаллической анизотропии образца.

Происхождение каспа на рис. За можно объяснить следующим образом. При охлаждении образца в нулевом магнитном поле его домены ориентируются произвольным образом в соответствии с направлениями осей легкого намагничивания зерен, образующих поликристалл. Если к такому образцу, охлажденному от комнатной до гелиевой температуры, приложить слабое магнитное поле, то его результирующая намагниченность будет очень малой из-за сильно возросшей коэрцитивной силы и связанной с этим малой подвижностью доменных стенок. С другой стороны, при нагреве образца, сопровождающемся резким уменьшением коэрцитивной силы. движение доменов в данной температурной области значительно ускорится. Измеряемая намагниченность будет быстро расти, обнаруживая касп при T = 32 K.

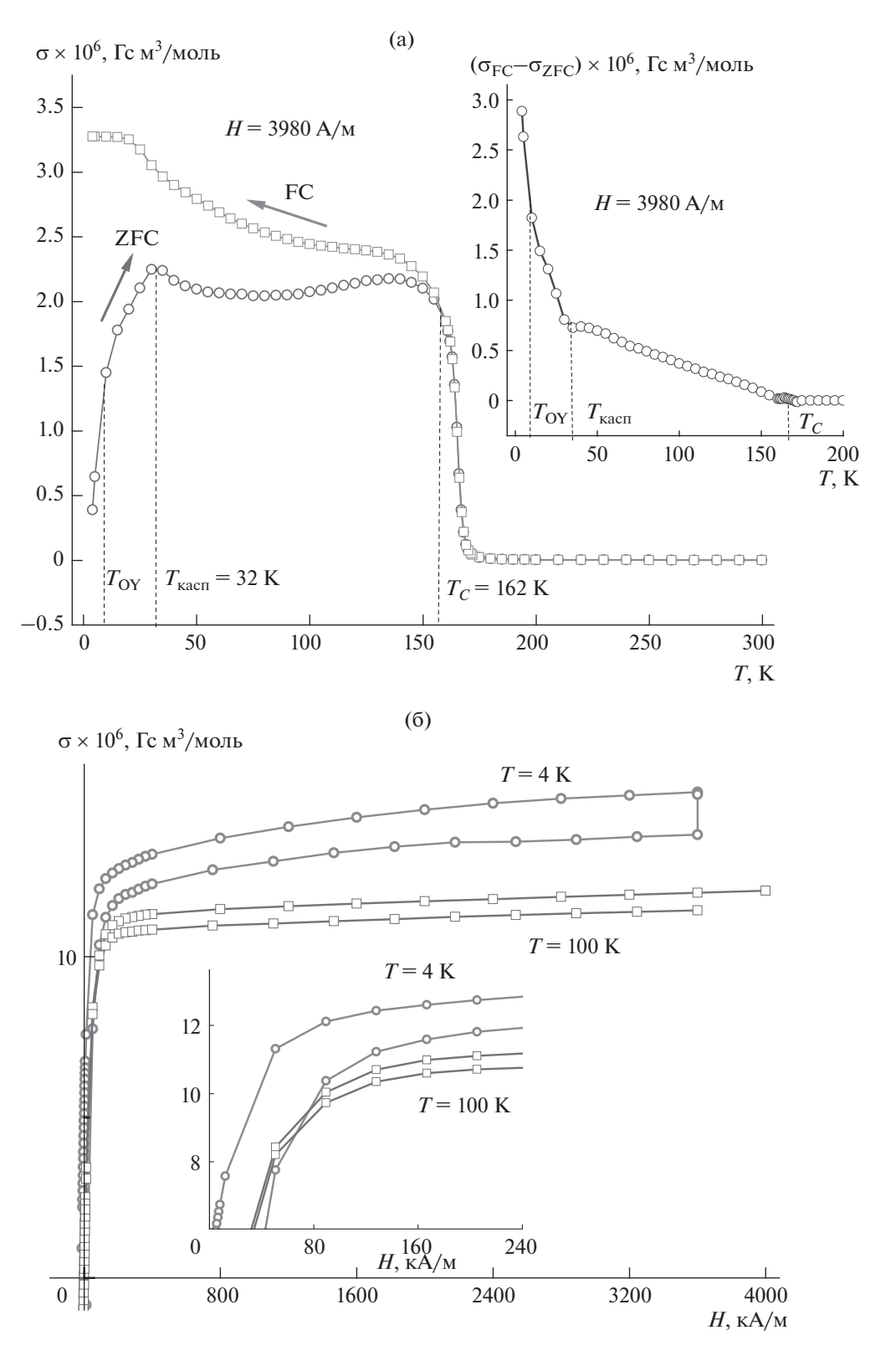
Отсутствие каспа на рис. 1а и 2а обусловлено тем, что здесь, наряду с магнитной анизотропией, коэрцитивная сила материала определяется пинингом магнитных доменных стенок: введение в  ${\rm FeCr_2S_4}$  немагнитных ионов кадмия создает во всей области температур дополнительные пининговые центры, которые уширяют магнитный переход, обусловленный резким низкотемпературным ростом магнитокристаллической анизотропии.

На рис. 4а показаны температурные зависимости намагниченности  $\sigma(T)_{ZFC}$  и  $\sigma(T)_{FC}$  твердого раствора  $Cd_{0.1}Fe_{0.9}Cr_{2}S_{4}$  (x = 0.9) в интервале от комнатной до гелиевой температуры в слабом магнитном поле H = 3980 A/м, а на вставке — температурные зависимости разности намагниченностей  $\sigma(T)_{FC}$  и  $\sigma(T)_{ZFC}$ . Как и на всех предыдущих рисунках, здесь в первую очередь обращает на себя внимание необратимый ход намагниченностей  $\sigma(T)_{ZFC}$  и  $\sigma(T)_{FC}$  начиная от температуры ферримагнитного перехода  $T_{C}$ . По [3], вышеуказанное полное расхождение зависимостей  $\sigma(T)_{ZFC}$  и  $\sigma(T)_{FC}$  считается характерным для поликристаллических образцов, а в случае монокристаллов расхождение, аналогично спиновым стеклам, начинается в конце демагнетизационного плато.

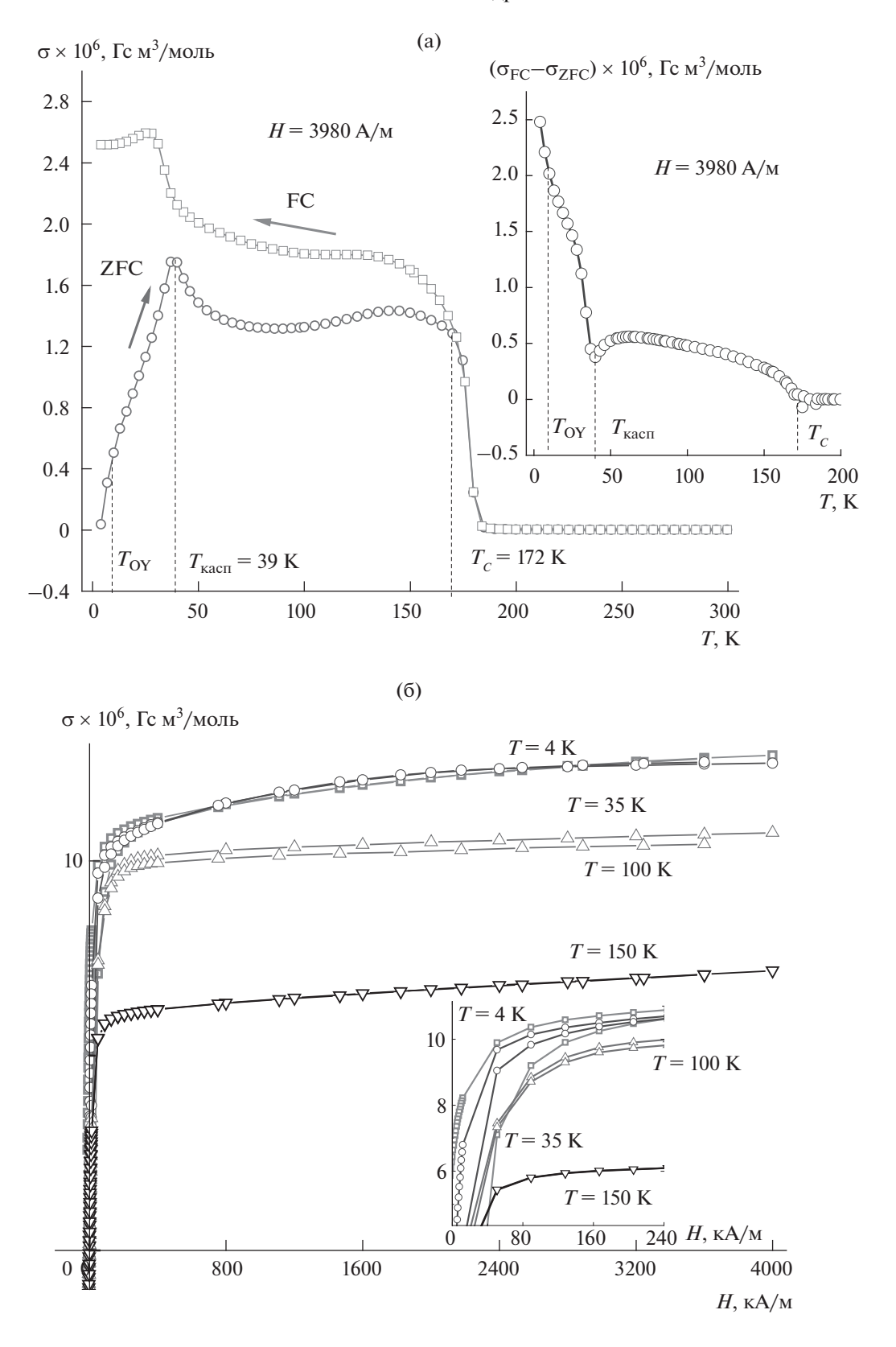
Согласно [21], для магнитных наночастиц зависимости  $\sigma(T)_{ZFC}$  и  $\sigma(T)_{FC}$ , совпадая при повышенных температурах, расщепляются ниже температуры необратимости  $T_{\rm H}$ . При этом кривая  $\sigma(T)_{ZFC}$  часто характеризуется максимумом типа каспа, а кривая  $\sigma(T)_{FC}$  монотонно возрастает вплоть до са-



**Рис. 2.** Температурные зависимости намагниченности  $\sigma(T)_{\rm ZFC}$  и  $\sigma(T)_{\rm FC}$  твердого раствора  ${\rm Cd}_{0.3}{\rm Fe}_{0.7}{\rm Cr}_2{\rm S}_4$  (x=0.7) в интервале от комнатной до гелиевой температуры в слабом магнитном поле  $H=3980\,{\rm A/m}$ ; на вставке — температурные зависимости разности намагниченностей  $\sigma(T)_{\rm FC}$  и  $\sigma(T)_{\rm ZFC}$  (а) и полевые зависимости намагниченности этого же образца (б).



**Рис. 3.** Температурные зависимости намагниченности  $\sigma(T)_{ZFC}$  и  $\sigma(T)_{FC}$  твердого раствора  $Cd_{0.2}Fe_{0.8}Cr_2S_4$  (x=0.8) в интервале от комнатной до гелиевой температуры в слабом магнитном поле  $H=3980\,\mathrm{A/m}$ ; на вставке — температурные зависимости разности намагниченностей  $\sigma(T)_{FC}$  и  $\sigma(T)_{ZFC}$  (а) и полевые зависимости намагниченности этого же образца (б).



**Рис. 4.** Температурные зависимости намагниченности  $\sigma(T)_{ZFC}$  и  $\sigma(T)_{FC}$  твердого раствора  $Cd_{0.1}Fe_{0.9}Cr_2S_4$  (x=0.9) в интервале от комнатной до гелиевой температуры в слабом магнитном поле  $H=3980\,\mathrm{A/m}$ ; на вставке — температурные зависимости разности намагниченностей  $\sigma(T)_{FC}$  и  $\sigma(T)_{ZFC}$  (а) и полевые зависимости намагниченности этого же образца (б).

мых низких температур. Отметим, что подобные различия между кривыми  $\sigma(T)_{\rm ZFC}$  и  $\sigma(T)_{\rm FC}$  наблюдаются также в макроскопических магнетиках с элементами неупорядоченности (фрустрацией обменных связей, топологическим беспорядком, дефектами структуры) и даже в упорядоченных магнетиках со значительной магнитной анизотропией [20].

Как видно из рис. 4а, с уменьшением температуры ниже точки Кюри в образце  $Cd_{0.1}Fe_{0.9}Cr_2S_4$  сразу наблюдается необратимое поведение кривых намагниченностей ZFC и FC, затем при  $T \approx 39$  К возникает аномалия в виде каспа, вызванная резким ростом магнитной анизотропии и связанной с этим спиновой переориентацией доменов. При дальнейшем снижении температуры образца обнаруживается еще одна аномалия. А именно, при  $T \approx 10$  К происходит ступенчатый переход — спад (ZFC) или подъем (FC) намагниченностей, связанный с началом ОУ при температуре  $T_{OY}$ .

Последняя магнитная аномалия FeCr<sub>2</sub>S<sub>4</sub> первоначально была установлена при низкотемпературных измерениях удельной теплоемкости и эффекта Мессбауэра [7, 16, 22]. В согласии со ступенчатым ходом намагниченности в нулевом поле удельная теплоемкость при T = 10 K показывает четкую аномалию λ-типа, которую считают признаком перехода к ОУ. Магнитное поле силой до  $3.98 \times 10^6$  A/м практически не влияет на наблюдаемую λ-аномалию. Будучи инертным в отношении магнитного поля, ОУ чувствительно к изменениям внешнего давления, возрастая вместе с ним. Это означает, что ОУ больше связано со структурой кристалла, так как решетка под давлением претерпевает сжатие, а микроструктура зависит от давления [14].

Согласно рентгеновским исследованиям на синхротроне, при  $T=T_{\rm OY}$  брэгговские рефлексы максимально уширены из-за структурной аномалии, связанной с переходом к орбитальному порядку. Понижение геометрической симметрии влечет за собой изменение магнитокристаллической симметрии. Последняя влияет на движение доменных стенок и ориентацию спинов, т.е. намагниченность [7].

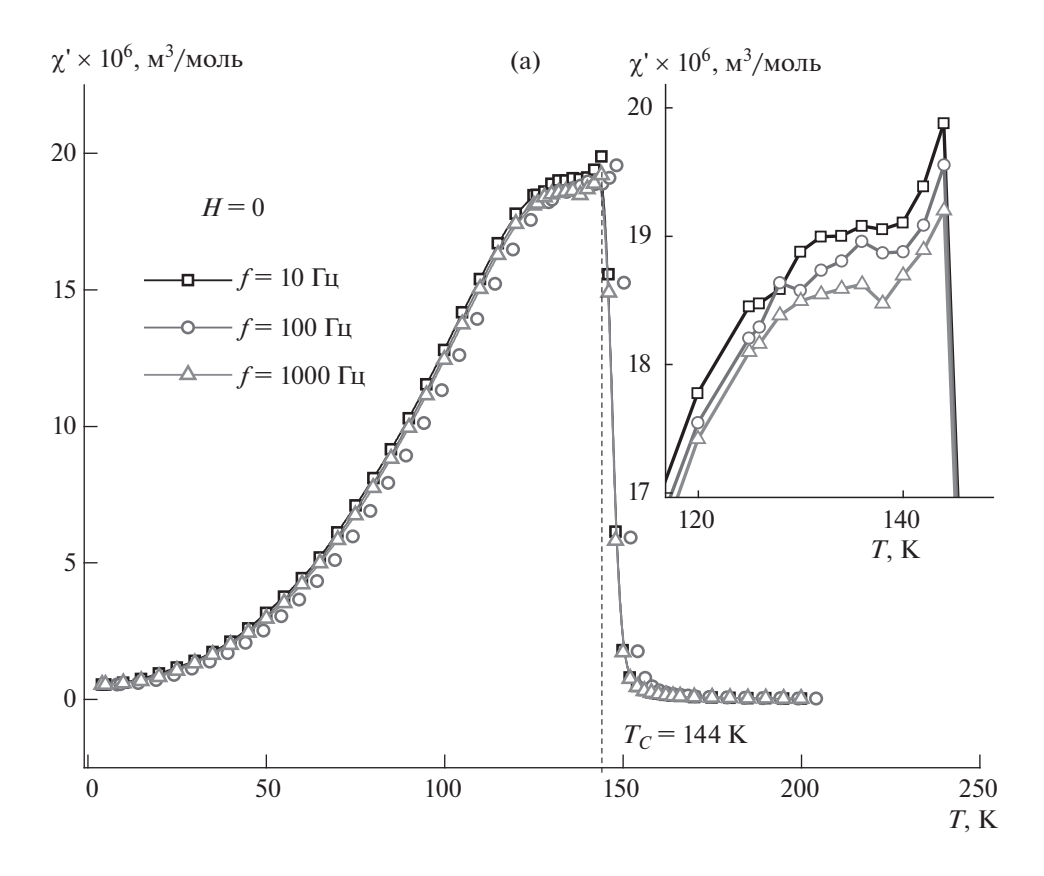
На рис. 5-8 представлены температурные зависимости действительной ( $\chi'$ ) и мнимой ( $\chi''$ ) частей динамической магнитной восприимчивости твердых растворов  $\mathrm{Cd}_{1-x}\mathrm{Fe}_x\mathrm{Cr}_2\mathrm{S}_4$  (x=0.6,0.7,0.8 и 0.9) при частотах 10,100,1000 и 10000 Гц переменного магнитного поля напряженностью  $H=79.6~\mathrm{A/m}$ . На вставках в увеличенном виде показаны участки кривых  $\chi'(T)$  и  $\chi''(T)$  в области магнитного фазового перехода. Все зависимости на рис. 5-8 сходны друг с другом в том отношении, что они имеют близкую частотную зависимость, наиболее выраженную в районе температуры Кюри. По этой причине при обсуждении результатов иногда

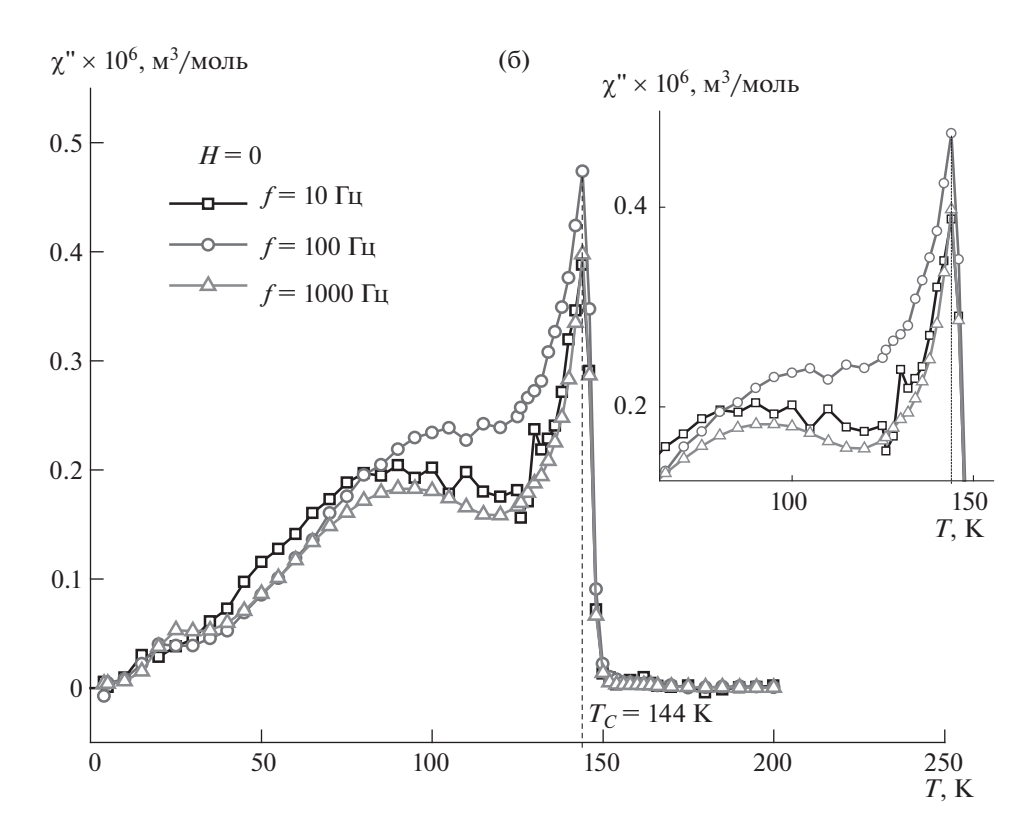
говорят о совпадении температур ферримагнитного и спин-стекольного переходов. Кроме простой констатации, это утверждение не содержит какого-либо физического смысла хотя бы потому, что само существование в образцах  $Cd_{1-x}Fe_xCr_2S_4$  спиновых стекол в общепринятом значении не очевидно.

Вместе с тем, как факт можно отметить, что протяженность областей частотной зависимости не является одинаковой для монокристаллического и поликристаллического образцов FeCr<sub>2</sub>S<sub>4</sub> [1, 4]. К примеру, для поликристаллов  $Cd_{1-x}Fe_xCr_2S_4$  этот интервал, начавшись вблизи точки Кюри, заканчивается при неопределенной температуре из-за размытости конца кривой  $\chi'(T)$ . В то же время о монокристаллическом образце  $FeCr_2S_4$  известно следующее [4]: восприимчивости  $\chi'(T)$  и  $\chi''(T)$  в интервале температур от  $T_C$  до 100 K очень слабо зависят от частоты. Однако ниже 90 К, когда действительная часть восприимчивости  $\chi'(T)$  начинает резко уменьшаться с понижением температуры, образец проявляет четкую частотную зависимость вплоть T = 20 K. Далее  $\chi'(T)$  опять не зависит от частоты. Аналогичное поведение показывает и мнимая часть  $\chi''(T)$  магнитной восприимчивости соединения.

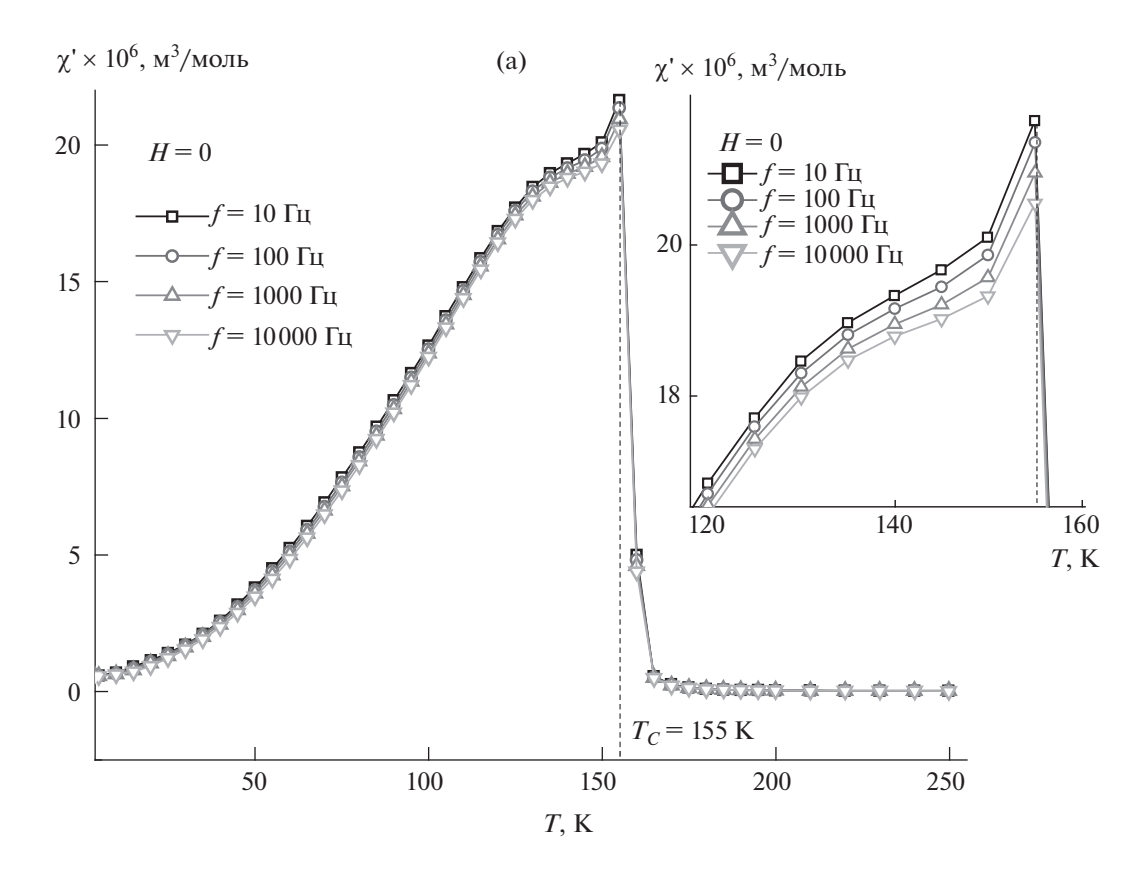
Наиболее вероятным объяснением [4] упомянутой выше частотной зависимости  $\chi'(T)$  и  $\chi''(T)$  для  $FeCr_2S_4$  является то, что ОУ вблизи каспа  $T \approx 60~\rm K$ , начинающееся как ближний порядок, разрушает существующее при этой температуре спиновое упорядочение с дальним порядком, вызывая уменьшение намагниченности образца. В случае твердых растворов  $Cd_{1-x}Fe_xCr_2S_4$  представляется логичным данную модель ближнего порядка распространить на весь температурный интервал вплоть до точки Кюри.

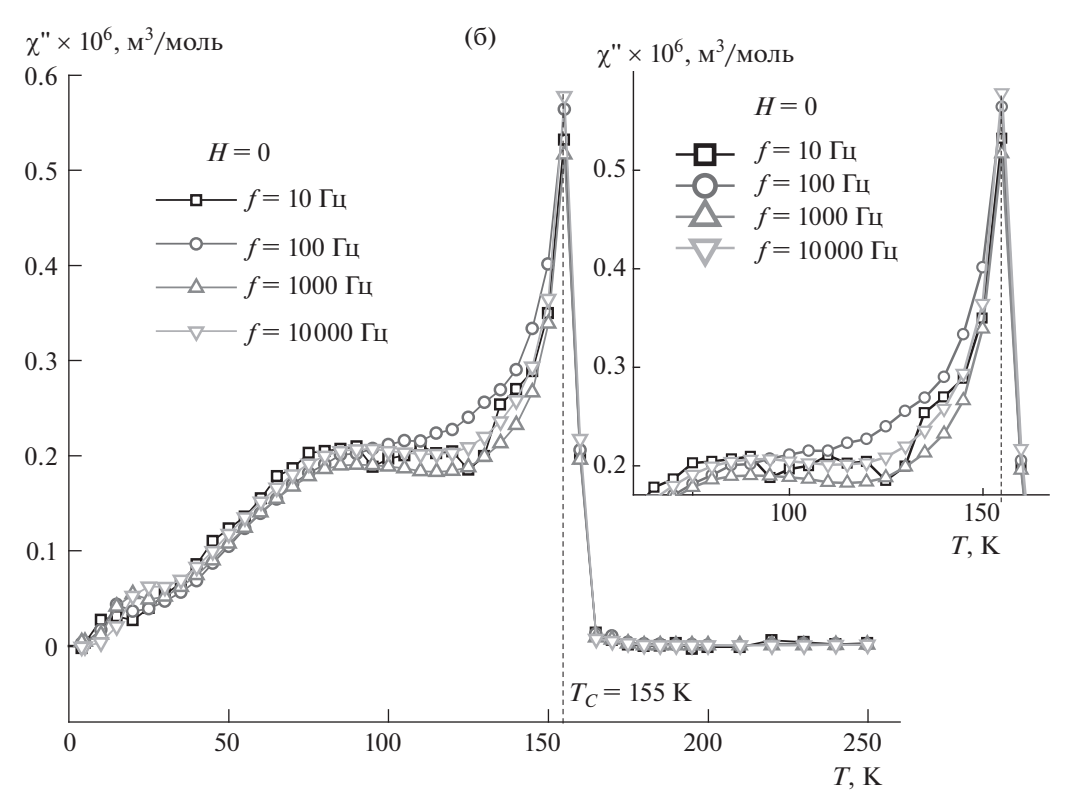
В [19] исследование FeCr<sub>2</sub>S<sub>4</sub> с помощью метода спиновой релаксации положительных мюонов (µSR) поставило вопрос о существовании соединения при T = 50 K в виде несоизмеримой модулированной неколлинеарной спиновой структуры. Это важный результат для осмысления, тем более что речь идет о той самой области температур, где, как говорилось выше, образец FeCr<sub>2</sub>S<sub>4</sub> проявляет выраженную частотную зависимость, свидетельствуя о наличии ближнего спинового порядка, напоминающего спиновое стекло. Выбор в пользу того или иного варианта из этих двух возможностей определяется характером магнитных взаимодействий в образце, вернее, наличием или отсутствием таких взаимодействий. Вообше. в случае, когда магнитные частицы располагаются нерегулярно, взаимодействия между ними при некоторой температуре должны перевести систему в состояние спинового стекла [20, 21]. Однако проблема состоит в том, что ZFC- и FC-кривые температурных зависимостей намагниченности для системы как невзаимодействующих, так и для



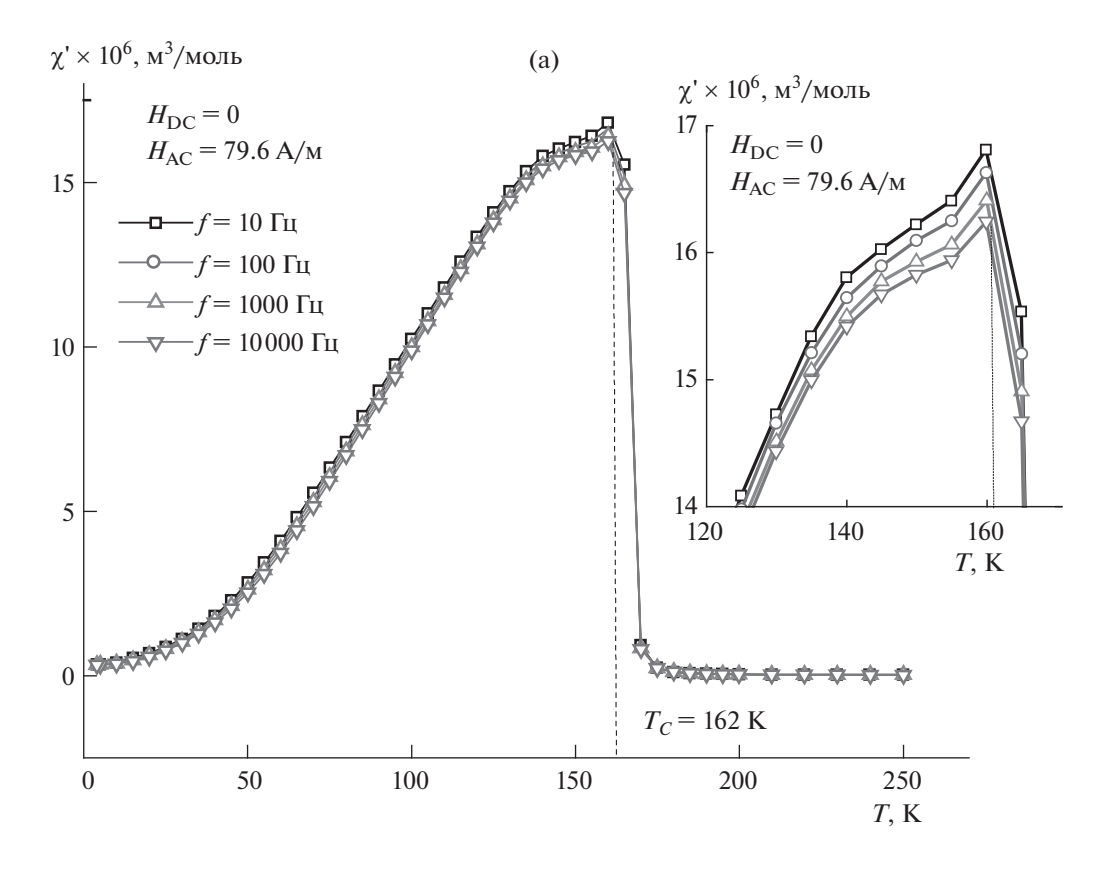


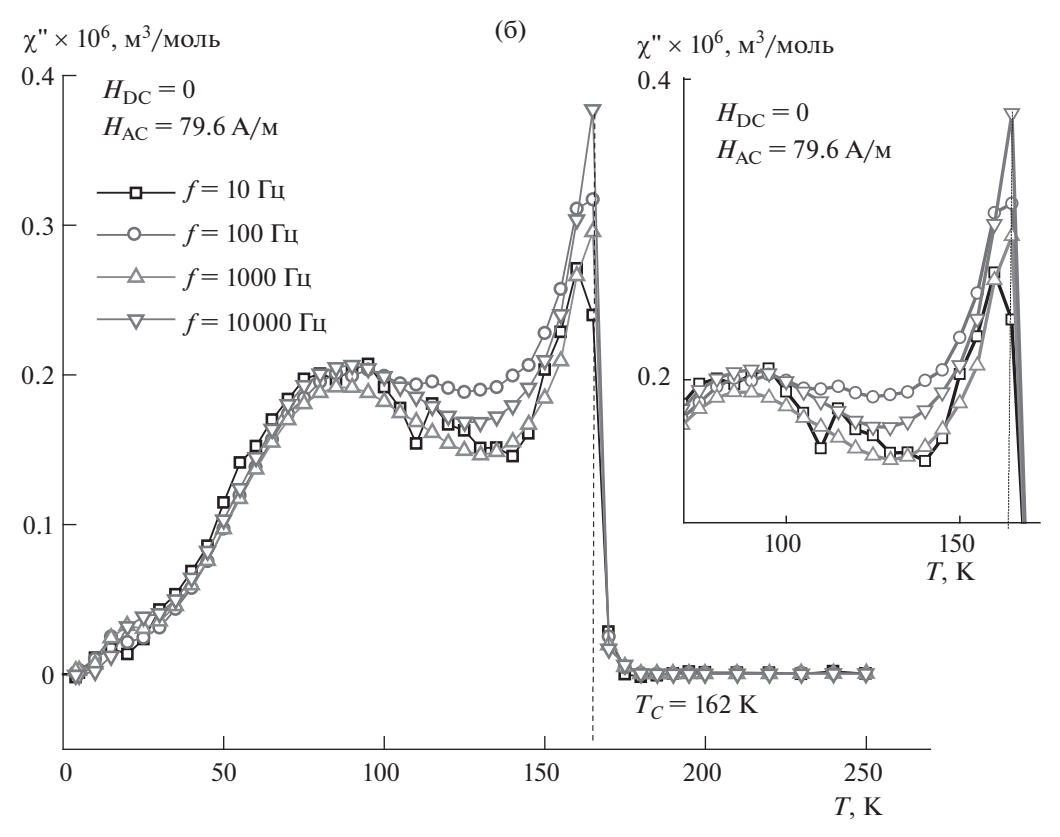
**Рис. 5.** Температурные зависимости действительной ( $\chi$ ') (а) и мнимой ( $\chi$ ") части (б) магнитной восприимчивости твердого раствора  $Cd_{0.4}Fe_{0.6}Cr_2S_4$  (x=0.6) при частотах 10, 100 и 1000  $\Gamma$ ц переменного магнитного поля напряженностью H=79.6 A/м; на вставке — участок кривой в области магнитного фазового перехода в увеличенном виде.



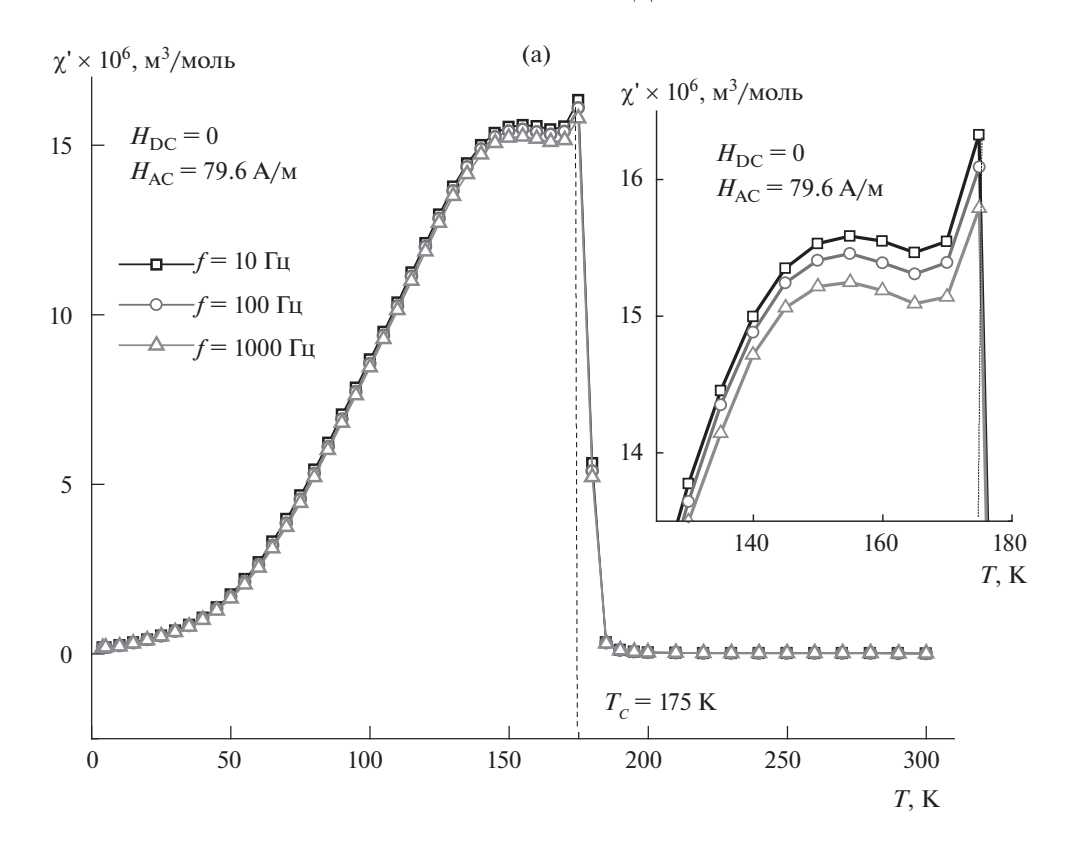


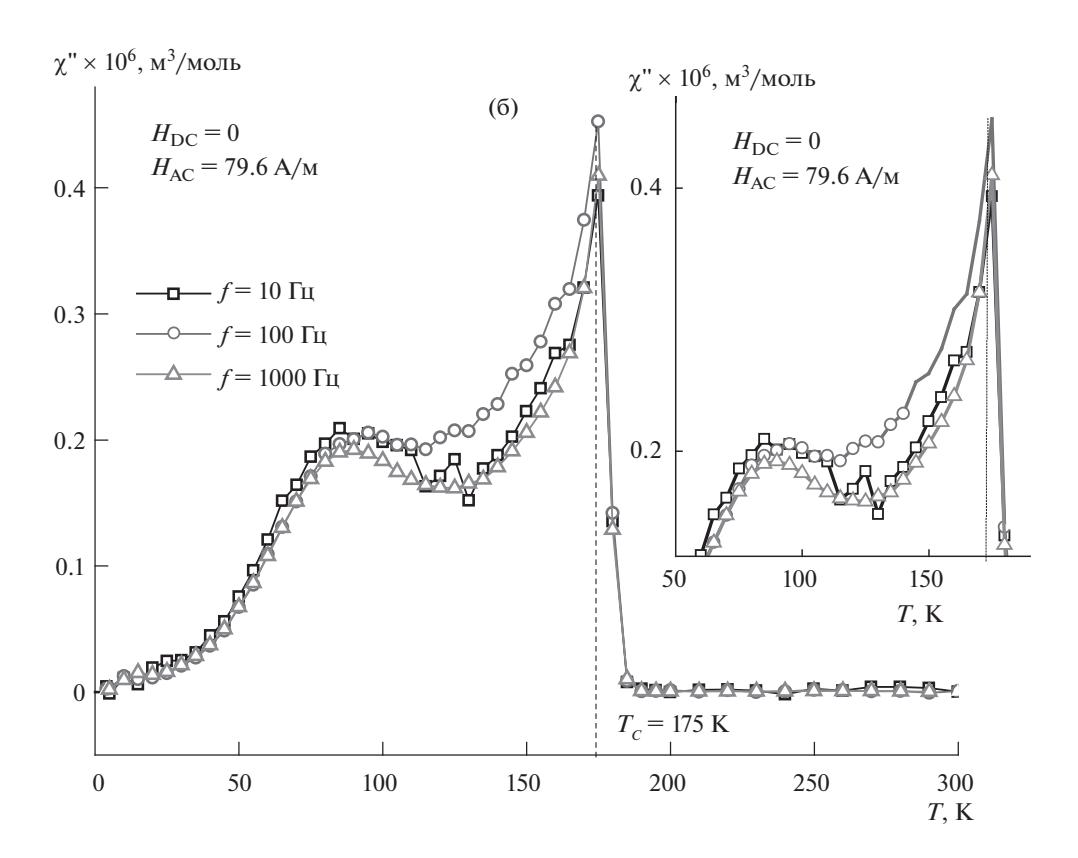
**Рис. 6.** Температурные зависимости действительной ( $\chi$ ') (а) и мнимой ( $\chi$ ") части (б) магнитной восприимчивости твердого раствора  $Cd_{0.3}Fe_{0.7}Cr_2S_4$  (x=0.7) при частотах 10, 100, 1000 и 10000 Гц переменного магнитного поля напряженностью H=79.6 А/м; на вставке — участок кривой в области магнитного фазового перехода в увеличенном виде.





**Рис. 7.** Температурные зависимости действительной ( $\chi$ ') (а) и мнимой ( $\chi$ ") части (б) магнитной восприимчивости твердого раствора  $Cd_{0.2}Fe_{0.8}Cr_2S_4$  (x=0.8) при частотах 10, 100, 1000 и 10000  $\Gamma$ ц переменного магнитного поля напряженностью H=79.6 A/м; на вставке — участок кривой в области магнитного фазового перехода в увеличенном виде.





**Рис. 8.** Температурные зависимости действительной ( $\chi$ ') (а) и мнимой ( $\chi$ ") части (б) магнитной восприимчивости твердого раствора  $Cd_{0.1}Fe_{0.9}Cr_2S_4$  (x=0.9) при частотах 10, 100 и 1000  $\Gamma$ ц переменного магнитного поля напряженностью H=79.6 A/м; на вставке — участок кривой в области магнитного фазового перехода в увеличенном виде.

взаимодействующих частиц (спиновых стекол) сходны, потому однозначное определение природы магнитного перехода представляет собой непростую задачу.

#### ЗАКЛЮЧЕНИЕ

Изучены магнитные свойства твердых растворов  $\mathrm{Cd}_{1-x}\mathrm{Fe}_x\mathrm{Cr}_2\mathrm{S}_4$  на основе соединения  $\mathrm{FeCr}_2\mathrm{S}_4$ , которое отличает сильная связь "орбиты" со спиновой, зарядовой и решеточной степенями свободы, обусловливающая новые интересные эффекты и явления. Магнитные аномалии, выявленые при исследовании полученных образцов, обсуждаются на основе модели, учитывающей доминирующее влияние на их свойства орбитального упорядочения в базовом компоненте Fe- $\mathrm{Cr}_2\mathrm{S}_4$  при  $T_{\mathrm{OY}}=10~\mathrm{K}$ .

### БЛАГОДАРНОСТЬ

Работа выполнена при финансовой поддержке Российского фонда фундаментальных исследований, проект № 17-03-01114, а также при поддержке Программы фундаментальных научных исследований Президиума Российской академии наук № 35 "Научные основы создания новых функциональных материалов".

Часть работы выполнена в рамках государственного задания № 0088-2014-0003 ИОНХ РАН в области фундаментальных научных исследований.

#### СПИСОК ЛИТЕРАТУРЫ

- 1. Аминов Т.Г., Шабунина Г.Г., Ефимов Н.Н., Бушева Е.В., Новоторцев В.М. Магнитные свойства твердых растворов  $Cd_{1-x}Fe_xCr_2S_4$  (x=0.5-0.8) // Неорган. материалы. 2017. Т. 53. № 11. С. 1173—1180.
- Ramirez A.P., Cava R.J., Krajewski J. Colossal Magnetoresistance in Cr-based Chalcogenide Spinels // Nature.1997. V. 386. P. 156–159.
- 3. Tokura Y., Tomioka Y. Colossal Magnetoresistive Manganites // J. Magn. Magn. Mater. 1999. V. 200. P. 1–23.
- 4. Tsurkan V., Hemberger J., Klem M., Klim S., Loidl A., Horn S., Tidecks R. Ac Susceptibility Studies of Ferrimagnetic FeCr<sub>2</sub>S<sub>4</sub> Single Crystals // J. Appl. Phys. 2001.V. 90. № 9. P. 4636–4644.
- Tsurkan V., Baran M., Szymczak R., Szymczak H., Tidecks R. Spin-Glass-Like States in the Ferrimagnet FeCr<sub>2</sub>S<sub>4</sub> // Physica . 2001. V. 296. P. 301–305.
- 6. Tsurkan V., Zaharko O., Schrettle F., Kant Ch., Deisenhofer J., Krug von Nidda et al. Structural Anomalies and

- the Orbital Ground State in  $FeCr_2S_4$  // Phys. Rev. B. 2010. V. 81. P. 184426.
- Shen C., Yang Z., Tong R., Li G., Wang B., Y. Sun Y. et al. Magnetic Anomaly around Orbital Ordering in FeCr<sub>2</sub>S<sub>4</sub> // J. Appl. Phys. 2011. V. 109. P. 07E144.
- 8. Fichtl R., Fritsch V., Krug von Nidda H.-A., Scheiht E-W., Tsurkan V. et al. Orbital Freezing and Orbital Glass State in FeCr<sub>2</sub>S<sub>4</sub> // Phys. Rev. Lett. 2005. V. 94. P. 027601.
- Suguru Kitani, Makoto Tashibana, Hidoshi Rawaji. Spin-Glass-Like Behavior in Ferromagnetic Phase of CdCr<sub>2</sub>S<sub>4</sub> // Solid State Commun. 2014. V. 179. P. 16–19.
- Yang, Z., Tan S. Magnetic Polaron Conductivity in FeCr<sub>2</sub>S<sub>4</sub> with the Colossal Magnetoresistance Effect // Phys. Rev. B: Condens. Mater. Phys. 2000. V. 62. № 21. P. 13872–13875.
- 11. *Aminov T.G., Kirdyankin D.I., Shabunina G.G., No-votortsev V.M.* The Study of Magnetic Phase Diagram of Fe<sub>1-x</sub>Zn<sub>x</sub>Cr<sub>2</sub>S<sub>4</sub> Solid Solutions // J. Solid State Chem. 2013. V. 204. P. 123–127.
- 12. Аминов Т.Г., Кирдянкин Д.И., Шабунина Г.Г., Новоторцев В.М. Магнитные свойства твердых растворов на основе  $Cu_{0.5}Fe_{0.5}Cr_2S_4$  // Неорган. материалы. 2012. Т. 48. № 2. С. 136—143.
- 13. Andrianov A.V., Saveleva O.A., Lyubutin I.S., Aminov T.G. A Simple Phenomenological Model Formagnetoresistive Properties of FeCr<sub>2</sub>S<sub>4</sub> and Related Compounds // J. Magn. Magn. Mater. 2007. V. 310. № 2. P. 1984–1985.
- 14. Bertinshow J., Ulrich C., Gunther A., Schrettle F., Wohlauer M., Krohns S.et al. FeCr<sub>2</sub>S<sub>4</sub> in Magnetic Fields: Possible Evidence for a Multyferroic Ground State // Sci. Rep. 2014. 4: 6079. doi 10.1038/srep06079
- Magnetic Nanoparticles / Ed. Gubin S. Weinheim: Wiley-VCH, 2009. P. 197–254.
- 16. Spender M.S., Morrish L.E. Mossbauer Study of the Ferrimagnetic Spinel FeCr<sub>2</sub>S<sub>4</sub> // Can. J. Phys. 1972. V. 50. № 1. P. 1125–1138.
- 17. *Van Diepen A.M., Van Stapele R.P.* Ordered Local Distortions in Cubic FeCr<sub>2</sub>S<sub>4</sub> // Solid. State Common. 1973. V. 13. № 10. P. I65I–I653.
- Ito M., Nagi Y., Kado N., Urakawa S. et al. Magnetic Properties of Spinel FeCr<sub>2</sub>S<sub>4</sub> in High Magnetic Field // J. Magn. Magn. Mater. 2011. V. 323. P. 3290–3293.
- Kalvius G.M., Krimmel A., Hartmann O., Wapping R. Low Temperature Incommensurately Modulated and Noncollinear Spin Structure in FeCr<sub>2</sub>S<sub>4</sub> // J. Phys.: Condens. Matter. 2010. V. 22. P. 052205.
- 20. *Krupicka S.* Physik der Ferrite und der Verwandten Magnetishen Oxide. Prague: Academia, 1973.
- 21. *Коренблит И.Я., Шендер Е.Ф.* Спиновые стекла и неэргодичность // Успехи физ. наук. 1989. Т. 157. № 2. С. 267—310.
- Tsurkan V., Fritsch V., Hemberger J., Krug von Nidda H.A. et al. Orbital Fluctuations and Orbital Order in FeCr<sub>2</sub>S<sub>4</sub>// J. Phys. Chem. Solids. 2005. V. 66. P. 2036–2039.